

# بررسی اثرات شکل‌های بستر شنی با تاج مسطح و پوشش گیاهی دیوار

## بر پارامترهای جریان آشفته

شهرزاد داورپناه جزی<sup>۱</sup>، عبدالرضا کبیری سامانی<sup>۲\*</sup> و حسین افضلی مهر<sup>۳</sup>

- ۱- دانشجوی کارشناسی ارشد مهندسی آب، دانشکده کشاورزی، دانشگاه صنعتی اصفهان
- ۲- دانشیار، دانشکده مهندسی عمران، دانشگاه صنعتی اصفهان
- ۳- استاد، گروه مهندسی آب، دانشکده کشاورزی، دانشگاه صنعتی اصفهان

akabiri@cc.iut.ac.ir

تاریخ پذیرش: [۱۳۹۴/۸/۱۳]

تاریخ دریافت: [۱۳۹۳/۱۲/۲۵]

**چکیده** - پوشش گیاهی با ایجاد زبری در دیواره کanal‌ها و دشت‌های سیلابی رودخانه‌ها بر شکل هندسی، هیدرولیک و مقاومت جریان تأثیر گذاشته و مکانیزم انتقال رسوب را تغییر می‌دهد. با توجه به اهمیت شکل‌های بستر نظیر تلماسه‌ها در کنترل میزان انتقال رسوب، تولید آشفتگی و ایجاد مقاومت جریان، مطالعه اثرات شکل‌های بستر شنی و پوشش گیاهی بر ساختار جریان ضروری به نظر می‌رسد. هدف از پژوهش حاضر مطالعه ساختار جریان بر روی تلماسه‌های شنی با تاج مسطح به همراه پوشش گیاهی در دیواره است. برای دست‌یابی به این هدف تعداد هفت تلماسه مصنوعی با تاج مسطح در طول یک کanal آزمایشگاهی مورد بررسی قرار گرفته‌اند. اندازه‌گیری داده‌های سرعت و آشفتگی با استفاده از سرعت سنج صوتی انجام شد. نتایج نشان داد که در تلماسه‌های با تاج مسطح برخلاف تلماسه‌های با تاج تیز، در هر دو حالت وجود عدم وجود پوشش گیاهی، پارامتر سرعت بعد از تاج مسطح مقادیر منفی به خود نمی‌گیرد. تنش‌های رینولدز در حالت وجود نسبت به حالت عدم وجود پوشش گیاهی بیشتر هستند که این موضوع را می‌توان به افزایش مقاومت جریان در حضور پوشش گیاهی نسبت داد.

**واژگان کلیدی:** تلماسه شنی، پوشش گیاهی، تنش رینولدز، جریان آشفته.

بوده و فقط تا ۳۰٪ ناشی از اندازه زبری ذره است [۲].

شکل‌گیری، انهدام و پایداری شکل‌های بستر، به شرایط جریان وابسته است [۳ و ۴]. تحقیقات آزمایشگاهی زیادی در زمینه جریان بر روی شکل‌های بستر به خصوص در جریان زیربحranی صورت گرفته است. از نمونه مطالعات اخیر در این رابطه، می‌توان به تحقیقات بارشولدی و همکاران<sup>۵</sup>، وندیتی و همکاران<sup>۶</sup>، وندیتی [۷]، استوسر و همکاران<sup>۷</sup>، مزومدر و همکاران<sup>۸</sup>، افضلی مهر و همکاران<sup>۹</sup>، نصیری [۱۱] و نصیری و همکاران [۱۲ و ۱۳] و سایرین اشاره نمود. آزمایش‌های ون‌میرلو و درویته<sup>۱۰</sup> به عنوان اولین مطالعه

### ۱- مقدمه

یکی از راههای شناسایی رفتار رودخانه‌ها بررسی ساختار جریان و مطالعه شکل‌های بستر است. از رایج‌ترین شرایط مرزی در رودخانه‌های آبرفتی، بسترها متحرک پوشیده از شکنجهای<sup>۱</sup> و تلماسه‌ها<sup>۲</sup> است [۱]. تلماسه‌ها در محدوده ای وسیعی از ذرات بسیار ریز و درشت ماسه تا ذرات درشت شن تشکیل می‌شوند. در ابعادی مانند تلماسه‌ها، شکل‌های بستر به صورت مانعی در مقابل جریان عمل کرده و مقاومت هیدرولیکی کanal را تحت تأثیر قرار می‌دهند. مطالعات افضلی مهر و همکاران نشان می‌دهد که در حالت وجود شکل بستر، بیش از ۷۰٪ مقاومت جریان ناشی از اثر شکل بستر

3-Bartholdy *et al.*

4-Venditti *et al.*

5-Stoesser *et al.*

6-Mazumder *et al.*

7-Van Mierlo and de Ruiter

1-Ripples  
2-Dunes

تحقیقات دو ناحیه مجزا شامل ناحیه جابه‌جایی افقی مومنتوم در مسیر انتقال افقی جریان و ناحیه جابه‌جایی عمودی مومنتوم در بالای پوشش گیاهی قابل تشخیص است [۱۹]. ویلسون و همکاران<sup>۱۳</sup> به بررسی اثر دو شکل پوشش گیاهی قابل انعطاف (برگ‌دار و بدون برگ) بر روی ساختار جریان آشفته پرداختند. آنها روش‌هایی برای کمی‌سازی میزان سختی، انعطاف‌پذیری و رابطه سرعت و نیروی پسا در حضور پوشش گیاهی ارائه کردند [۲۰]. وايت و نپ<sup>۱۴</sup> آزمایش‌هایی در کanalی با ردیف‌هایی از میله‌های استوانه‌ای به عنوان نماینده پوشش گیاهی غیرمستغرق انجام دادند. طبق نتایج آنها اختلاف نیروی پسا بین دشت سیلانی و کanal اصلی باعث ایجاد نقطه عطف در پروفیل سرعت می‌شود [۲۱]. افضلی مهر و دی<sup>۱۵</sup> برهم‌کنش پوشش گیاهی دیواره و بستر شنی را بر توزیع‌های سرعت (به ویژه محل وقوع سرعت بیشینه) و تنش رینولذز در جریان یکنواخت بررسی نمودند [۲۲]. نتایج آنها نشان داد که بیشینه سرعت در زیر سطح آب تا ۳۵ درصد عمق جریان رخ می‌دهد و اختلاف بین بیشترین مقدار سرعت و سرعت در سطح آب در حضور پوشش گیاهی بر روی دیواره‌های کanal قابل توجه است.

شناخت توزیع سرعت جریان و شدت‌های آشفتگی در مجاورت دیواره‌هایی که به واسطه گیاهان پوشش داده شده‌اند همراه با ذرات شن در کف کanal، اطلاعات مفیدی را در ارتباط با تغییرات شکل‌های بستر تحت جریان‌های غیریکنواخت در اختیار قرار می‌دهد. در این پژوهش به بررسی تأثیر تغییر شکل تاج تلماسه‌ها بر ساختار جریان آشفته در حضور پوشش گیاهی پرداخته می‌شود. با توجه به اینکه اکثر تحقیقات گذشته بر روی تلماسه‌های با تاج تیز و بدون حضور پوشش گیاهی انجام گرفته است، در این پژوهش سعی شده که با استفاده از تلماسه‌های دارای تاج مسطح به همراه پوشش گیاهی در دیواره کanal بتوان به مقایسه‌ای در زمینه توزیع سرعت و تنش برشی در این دو نوع تلماسه دست یافت.

13-Wilson *et al.*

14-White and Nepf

15-Afzalimehr and Dey

دقیق در ارتباط با جزئیات جریان بر روی یک سری تلماسه‌های ثابت شناخته شده است. در آزمایش‌های ون‌میرلو و درویته پروفیل‌های سرعت لحظه‌ای به‌وسیله دستگاه سرعت‌سنج<sup>۱۶</sup> LDA<sup>۱۷</sup> اندازه‌گیری شده است [۱۴]. بنت و بست به مطالعه جزئیات ساختار آشفتگی و توزیع سرعت جریان با استفاده از دستگاه LDA بر روی ۷ تلماسه ثابت دوی بعدی از جنس سیمان به طول موج ۰/۶ متر و ارتفاع ۰/۴ متر با زاویه ایستایی ۳۰ درجه در پایین دست پرداختند [۱۵]. آنها دریافتند که بزرگ‌ترین تنش‌های برشی در داخل محدوده جدایی جریان و در راستای لایه برشی قرار دارند. مطالعات فدل و گارسیا<sup>۱۸</sup> نشان داد که شبیه پروفیل سرعت در حضور اشکال بستر، در نزدیکی بستر متفاوت از نزدیکی آب است. همچنین آنها نشان دادند که نقطه حداکثر تنش رینولذز مربوط به نقطه انحراف لایه داخلی از لایه خارجی است [۱۶]. مشاهدات رادکیوی<sup>۱۹</sup> نشان داد که سرعت گسترش شکل‌های بستر به صورت معکوس با ارتفاع آنها متناسب است، به نحوی که شکل‌های کوتاه‌تر، سریع‌تر حرکت کرده و به شکل‌های بزرگ‌تر می‌رسند [۱۷]. مزومدر و همکاران در یک مطالعه آزمایشگاهی به بررسی تفاوت ساختار جریان بر روی شکل‌های بستر متقارن و نامتقارن پرداختند [۹]. بر اساس مطالعات ایشان، عدم تشابه در اندازه ناحیه جدایی، باعث تفاوت قابل توجه ساختارهای جریان متوسط و آشفتگی می‌شود. در حضور پوشش گیاهی لایه مرزی رشد کرده و سرعت در داخل این لایه کاهش می‌یابد. علاوه بر این از اندازه حرکت جریان با حضور پوشش گیاهی به دلیل افزایش مقاومت جریان کاسته می‌شود [۱۸]. نپ و کوچ<sup>۲۰</sup> به بررسی مؤلفه‌های آشفتگی جریان در حضور پوشش گیاهی مستغرق با تراکم‌ها و سرعت‌های مختلف جریان پرداختند [۱۸]. نپ و وی‌وونی<sup>۲۱</sup> به بررسی و مقایسه شرایط پوشش گیاهی مستغرق ( $H/h > 1$ ) که در آن  $H$  ارتفاع آب و  $h$  ارتفاع پوشش گیاهی است) و غیرمستغرق ( $H/h \geq 1$ ) پرداختند. طبق این

8-Laser Doppler Anemometer

9-Fedele and Garcia

10-Roudkivi

11-Nepf and Koch

12-Nepf and Vivoni

راستاهای جریان محاسبه و مورد تحلیل قرار گرفتند. شایان ذکر است که در این پژوهش، داده‌های با همبستگی کوچک‌تر از ۷۰ درصد و نسبت سیگنال به نویز کوچک‌تر از ۱۵ dB حذف گردید. به منظور شبیه‌سازی شرایط طبیعی در ارتباط با پوشش گیاهی از گیاهی به نام خومه استفاده شد. خومه گیاهی با نام‌های فارسی قیاق یا حلیط و نام لاتین **Johnson grass** است (شکل ۱).

شکل (۱) ساقه‌های گیاه خومه چسبانده شده بر روی کارتون پلاست، مورد استفاده در تحقیق حاضر



Figure 1. Johnson grass stems attached on carton plast used in the present study

شکل (۲) شماتیک یک تلماسه با تاج مسطح

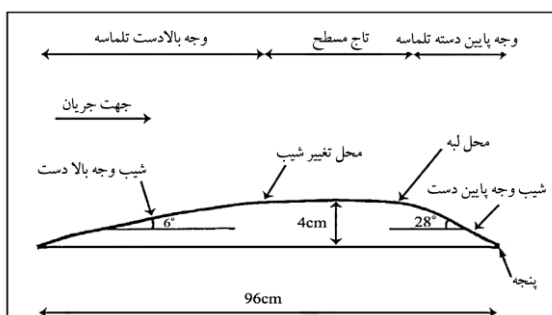


Figure 2. Schematic of a dune with flat crest

ابعاد تلماسه‌ها با توجه به ابعاد مشاهده شده در تحقیقات قبلی انتخاب گردید. کارلینگ و همکاران در تلماسه‌های شنی نسبت ارتفاع تلماسه به طول موج آن یا  $H/L$  را بین ۰/۰۲۳ تا ۰/۱۴ گزارش کردند [۲۴]. بر این اساس نسبت  $L/H$  در این تحقیق با در نظر گرفتن  $4 \text{ cm} = H$  و  $L = ۹۶ \text{ cm}$  معادل  $۲۸/۰$  لحاظ گردید. همچنین زاویه وجه پایین دست تلماسه  $۴^{\circ}$  و زاویه وجه بالادست آن  $۶^{\circ}$  در نظر گرفته شد. شکل (۲) جزئیات یک تلماسه با تاج مسطح را نشان می‌دهد. در

## ۲ - مدل‌سازی آزمایشگاهی و ابزار اندازه‌گیری

مدل‌سازی آزمایشگاهی درون کanal به طول ۸ متر، عرض  $۰/۶$  متر و عمق  $۰/۰$  متر با سطح مقطع مستطیلی انجام شده است. دیواره‌ها و کف کanal از جنس پلکسی گلاس<sup>۱۶</sup> شفاف بوده و شیب کف با استفاده از اهرمی در زیر کanal قابل تغییر است. آب در یک چرخه بسته به وسیله یک پمپ سانتریفیوژ از مخزن اصلی وارد لوله رانش و سپس لوله ورودی کanal شده و پس از آرام شدن، وارد کanal آزمایشگاهی می‌گردد. حداکثر دبی پمپ  $۴۰$  لیتر بر ثانیه است. به منظور آرام شدن جریان از چند صافی آرام کننده و تشکهای گایبونی در مخزن ورودی و بستر پوشانده از شن درشت در ابتدای کanal آزمایشگاهی استفاده شد. دبی جریان به وسیله یک دستگاه دبی‌سنج الکترومغناطیسی با دقت  $۰/۵$  درصد، اندازه‌گیری می‌شد. برای اندازه‌گیری عمق جریان عمق سنج متحرک، با دقت  $۰/۵$  میلی‌متر، به کار گرفته شد.

برای اندازه‌گیری سرعت جریان آب در سه بعد، دستگاه سرعت‌سنج صوتی **ADV** مورد استفاده قرار گرفت. اندازه‌گیری سرعت در فاصله  $۵۰$  میلی‌متری از فرستنده در مرکز حجم نمونه‌گیری با قطر ثابت  $۶$  میلی‌متر و ارتفاع قابل تنظیم  $۳$  تا  $۱۵$  میلی‌متر صورت می‌گیرد. دستگاه **ADV** مورد استفاده در این تحقیق از نوع **Vectorino+**، سری  $۱/۰۹$  از نسل جدید سرعت‌سنج‌های سه‌بعدی است. بر اساس دستورالعمل استفاده از این دستگاه دقت آن برابر با  $\pm ۰/۵$  درصد مقادیر اندازه‌گیری شده  $\pm ۱ \text{ mm/s}$  است [۲۳]. در تحقیق حاضر بسته به حداکثر سرعت مشاهده شده در هر سری از آزمایش‌ها این دامنه بین  $۰/۳$  تا  $۱$  متر در ثانیه تغییر می‌کرد. با استفاده از تحلیل‌های آماری، محاسبه مقیاس زمانی ساختارهای آشفتگی و مقایسه اندازه‌گیری‌های انجام شده، مدت زمان اندازه‌گیری سرعت در هر نقطه  $۲$  دقیقه در نظر گرفته شد. کلیه داده‌های اندازه‌گیری شده توسط دستگاه سرعت‌سنج، ابتدا با استفاده از نرم‌افزار **WinADV** غربال شده و سپس پارامترهای سرعت و آشفتگی نظیر هر یک از

ترتیب ۱۲/۶، ۶/۳ و ۱/۳ سانتی‌متر بود. آزمایش‌های سری اول

در شرایط عدم حضور پوشش گیاهی در دیوار و در امتداد محور مرکزی کanal صورت پذیرفت. آزمایش‌های سری دوم تقریباً مشابه با آزمایش‌های سری اول انجام شد. با این تفاوت که در سری دوم پوشش گیاهی در دیواره کanal وجود داشت. در شکل (۴) نمایی از آزمایش‌های سری دوم نشان داده شده است.

شکل (۴) نمایی از آزمایش‌های سری دوم



Figure 4. Sample image of the tests of group two

در سری سوم از آزمایش‌ها نیز ارتفاع، طول موج و زاویه ایستایی ثابت و به ترتیب برابر ۰/۰۴ متر، ۰/۹۶ متر و ۲۸ درجه بود. با توجه به ثابت نگه داشتن میزان بازشدگی دریچه و میزان آب ورودی به کanal، عمق جریان برابر با ۲۸ سانتی‌متر و مشابه با سری اول و دوم بددست آمد. تنها تفاوت این سری با دو سری قبل این بود که اندازه‌گیری‌ها در فاصله ۴ سانتی‌متری از دیوار (پوشش گیاهی) و در حد فاصل تاج مسطح تلماسه‌های پنجم و ششم، پس از ثابت ماندن شرایط جریان انجام گرفت. خلاصه‌ای از شرایط هیدرولیکی و خصوصیات هندسی آزمایش‌های مختلف انجام شده در تحقیق حاضر به ترتیب در جداول (۱) و (۲) ارائه شده است. شما کلی مدل آزمایشگاهی و اجزای مربوطه در شکل (۵) نمایش داده شده است.

شکل (۳) نیز تصاویری از تلماسه‌های شکل داده شده ارائه شده است. در طی انجام این پژوهش در مجموع سه سری آزمایش انجام شد. در سری اول آزمایش‌ها ۱۷ پروفیل و در سری‌های دوم و سوم تعداد ۲۱ پروفیل سرعت برداشت گردید. در سری اول آزمایش‌ها تلماسه‌ها با طول موج  $L = 0/04$  متر، ارتفاع ۰/۰۴ متر، زاویه ایستایی ۲۸ درجه و عمق جریان ۰/۲۸ متر انتخاب گردیدند.

شکل (۳) نمایی از یک تلماسه با تاج مسطح مربوط به آزمایش‌های سری اول



Figure 3. Images of the dunes with flat crest in the first group of the tests

در این سری از آزمایش‌ها ۱۷ پروفیل، شامل ۶ پروفیل بر روی تاج مسطح، ۵ پروفیل در امتداد کanal بر روی شیب وجه بالا دست و ۶ پروفیل نیز بر روی شیب وجه پایین دست تلماسه برای اندازه‌گیری سرعت جریان در سه بعد در نظر گرفته شد. فاصله پروفیل‌های سرعت در امتداد تاج مسطح، شیب وجه بالا دست و پایین دست تلماسه‌های مورد مطالعه به

جدول (۱) شرایط هیدرولیکی آزمایشات انجام شده در پژوهش حاضر

سری آزمایشی			دبی ( $m^3/s$ )
سوم	دوم	اول	
۰/۰۲۴	۰/۰۲۴	۰/۰۲۴	
۲۸ و ۲۴	۲۸ و ۲۴	۲۸ و ۲۴	بیشینه و کمینه مقدار عمق آب (cm)
۱/۶۷ و ۱/۴۳	۱/۶۷ و ۱/۴۳	۱/۶۷ و ۱/۴۳	بیشینه و کمینه مقدار نسبت ظرفت ( $W/h$ )

Table 1. Hydraulic characteristics of the present experiments

جدول (۲) خصوصیات هندسی و مشخصات شکل‌های بستر به کار رفته در پژوهش حاضر

سری آزمایشی			
سوم	دوم	اول	
۲۱	۲۱	۱۷	تعداد پروفیل
دارد	دارد	ندارد	پوشش گیاهی
۴ سانتی‌متری از پوشش	محور وسط	محور وسط	محل برداشت پروفیل‌ها در کanal
۴	۴	۴	ارتفاع تاج تلماسه (cm)
۹۶	۹۶	۹۶	طول موج تلماسه (cm)
۰/۰۴۲	۰/۰۴۲	۰/۰۴۲	نسبت ارتفاع به طول موج تلماسه ( $H/L$ )
۲۸	۲۸	۲۸	زاویه وجه پایین دست (درجه)
۶	۶	۶	زاویه وجه بالا دست (درجه)

Table 2. Geometrical characteristics of the bed-forms considered in the present study

شکل (۵) شکل شماتیک مدل آزمایشگاهی

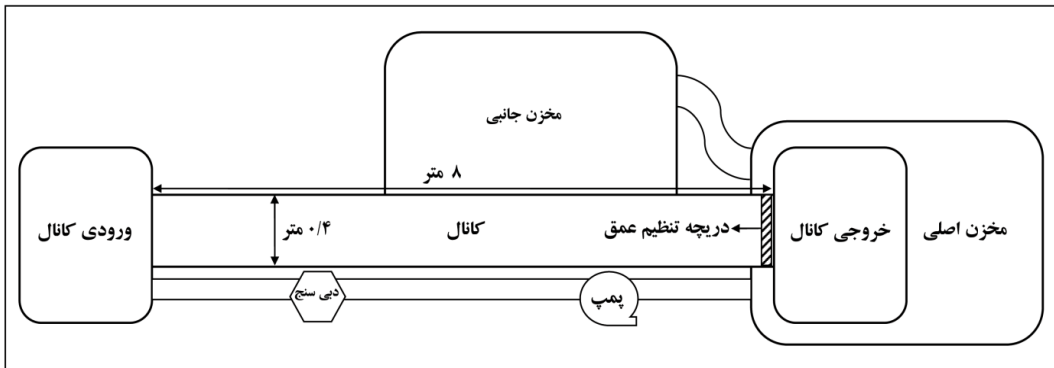


Figure (5) Schematic of the experimental setup

باقی بمانند. بر اساس مطالعات نصیری و همکاران [۱۲ و ۱۳] در کanal آزمایشگاهی مشابه با کanal مورد استفاده در پژوهش حاضر، جریان از فاصله حدود ۵ متری از ورودی کanal (علاوه بر توسعه یافته بودن) حالت متعادل به خود گرفت. در پژوهش حاضر نیز هم‌شکلی و انطباق مولفه‌های آشفتگی علاوه بر هم‌شکل بودن پروفیل‌های سرعت در فاصله حدود ۵ متری از ورودی، متعادل بودن جریان را نشان داد. در شکل (۶) پروفیل‌های بدون بعد سرعت در راستای جریان در آزمایش‌های سری اول نشان داده شده است. ملاحظه می‌شود که پروفیل‌های سرعت با شروع از تاج مسطح به تدریج به صفر نزدیک شده و مجدداً به مکان اولیه خود بر روی تاج مسطح بر می‌گردند.

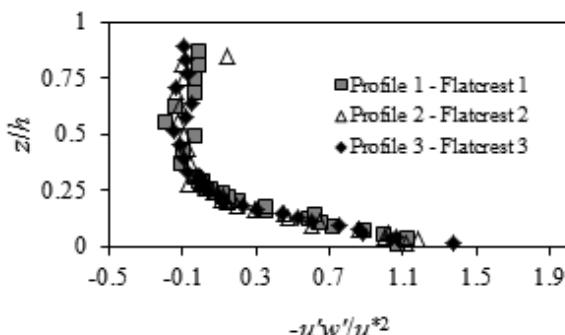
### ۳ - تحلیل نتایج

به منظور تشخیص ناحیه توسعه یافتگی جریان در طول کanal، جهت تعیین محل شروع داده‌برداری در آزمایش‌های بایستی پروفیل‌های سرعت در این مقاطع رسم گردد. شایان ذکر است که پژوهش‌های جدید نشان می‌دهند که عوامل  $dh/dx$  (تغییر در راستای جریان) یا  $dv/dx$  (تغییر سرعت در راستای جریان) به تنهایی معیارهای مناسبی برای تعریف غیریکنواختی جریان نیستند. بر اساس مطالعات افضلی مهر و دی، با وجود ثابت ماندن عمق جریان، توزیع تنش برشی یکنواخت نبوده و حالت غیرخطی دارد [۲۲]. بدین ترتیب هم‌شکل بودن پروفیل‌های سرعت به تنهایی شرطی لازم برای تعادل جریان بوده ولی شرطی کافی نیست و نمی‌تواند نشان دهنده متعادل بودن جریان باشد. در جریان متعادل علاوه بر پروفیل سرعت، پروفیل مشخصه‌های آشفتگی مانند ' $m'$

متغیر بوده که این مقادیر در محدوده عمق نسبی ( $z/h$ ) ۰/۲۵ تا ۰/۳۸ اتفاق می‌افتد. مطابق نظریه بنت و بست هنگامی که نمودارهای سرعت در دو قله مجاور، مشابه با یکدیگر باشند، می‌توان گفت که جریان نسبتاً متعادل است [۱۵]. با توجه به شکل پروفیل‌های موجود بر تاج‌های مسطح کاملاً مشابه یکدیگرند. بیشترین مقادیر سرعت در تاج مسطح در محدوده ۰/۳۷ تا ۳۲ cm/s بوده که در عمق نسبی ۰/۲۸ تا ۰/۲۵ cm/s اتفاق می‌افتد. بنابراین طبق نظریه فوق در این آزمایش جریان به تعادل نسبی رسیده بوده است. در واقع تاج مسطح تلماسه‌ها در این پژوهش مشابه یک بستر مسطح رفتار می‌نماید و با توجه به طول نسبتاً زیاد آن (۵۰/۴ سانتی‌متر) می‌توان در تأیید تعادل جریان از آنها کمک گرفت. برای بررسی پروفیل‌های بدون بعد تنش رینولدز ( $u'w'/u^*$ ) در طول یک تلماسه در شرایط عدم وجود پوشش گیاهی، شکل‌های (۷) ارائه شده‌اند.

نتایج نشان می‌دهند که در تمامی پروفیل‌ها توزیع تنش رینولدز دارای حالت غیرخطی است. با توجه به شکل (۷) می‌توان دریافت که پروفیل‌های تنش رینولدز در مرکز کanal، از کف تا عمق نسبی  $z/h = ۰/۲۵$  دارای مقادیر مثبت بوده و در عمق‌های بیشتر مقدار منفی به خود می‌گیرند. روند کلی تغییرات توزیع تنش در تمامی پروفیل‌ها یکسان بوده به طوری که از بستر تا عمق نسبی  $z/h = ۰/۲۵$  کاهش یافته و پس از آن روند افزایشی بسیار تدریجی است. اما تغییرات روند کاهشی بسیار محسوس‌تر از روند افزایشی صورت می‌پذیرد.

شکل (۷) پروفیل‌های بدون بعد تنش رینولدز ( $u'w'/u^*$ ) در راستای جریان: الف- بر روی تاج مسطح، ب- بعد از تاج مسطح و ج- قبل از تاج مسطح در آزمایش‌های سری اول



شکل (۶) پروفیل‌های بدون بعد سرعت در راستای جریان: الف- بر روی تاج مسطح، ب- بعد از تاج مسطح و ج- قبل از تاج مسطح در آزمایش‌های سری اول

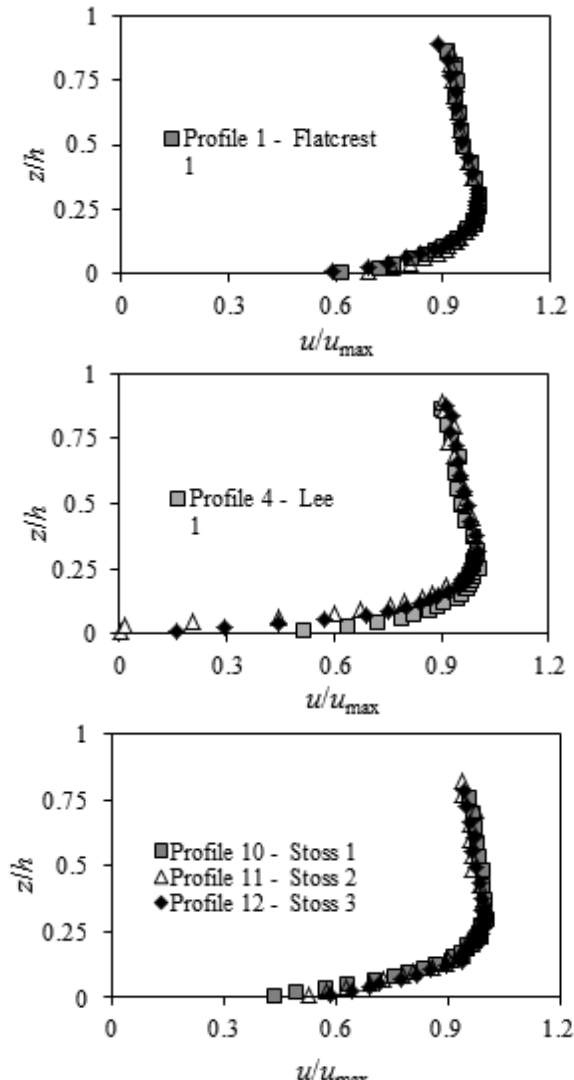


Figure 6. Non-dimensional longitudinal velocity profiles of the first group of the tests: a) over the flat crest, b) at lee of the dunes and c) at stoss of the dunes

این روند به دلیل وجود جریان‌های شبیه یکنواخت، تندشونده و کندشونده به ترتیب بر روی تاج مسطح، قبل از تاج مسطح (شیب وجه بالادست) و بعد از تاج مسطح (شیب وجه پایین‌دست) است. با توجه به شکل پروفیل‌ها در مقاطع مختلف می‌توان دریافت که سرعت بدون بعد ( $u/u_{max}$ ) در نزدیکی بستر کanal حداقل بوده و تا حدود  $z/h = ۰/۳$  روند افزایشی شدیدی دارد. سپس این مقادیر کاهش می‌یابند ولی روند کاهشی آنها بسیار کنتر از روند افزایشی آنها است. در این پروفیل‌ها بیشینه مقادیر سرعت از ۳۵ cm/s تا ۳۰ cm/s

سری اول) پروفیل‌های سرعت با شروع از تاج مسطح به تدریج به صفر نزدیک شده و مجدداً به مکان اولیه خود بر روی تاج مسطح برمی‌گردند. با توجه به شکل (۸) می‌توان دریافت که در این سری از آزمایش‌ها نیز حداقل مقدار سرعت در بستر رخ داده و سپس روند افزایشی را در پیش می‌گیرد. در آزمایش‌های سری دوم (مانند سری اول) بیشینه مقدار سرعت جریان در زیر سطح آب ولی بر خلاف سری اول در عمق نسبی بیش از  $0/۳$  اتفاق می‌افتد. با مشاهده شکل (۸) و همچنین بررسی داده‌ها ملاحظه می‌گردد که در حالت وجود پوشش گیاهی در دیواره کanal بیشترین مقدار سرعت در پروفیل‌های واقع در محور مرکزی در محدوده عمق نسبی  $0/۳۲$  تا  $0/۵۸$  رخ می‌دهد. دامنه بیشینه مقادیر سرعت از  $42 \text{ cm/s}$  تا  $45 \text{ cm/s}$  متغیر است. پوشش گیاهی با یجاد جریان‌های عرضی در قسمت جانبی کanal جریان را وادار به حرکت به سمت مرکز می‌کند. بنابراین با حرکت جریان از دیوار به سمت مرکز و از سطح آب به سمت کف، سرعت بیشینه به زیر سطح آب رانده می‌شود. پروفیل‌های بی‌بعد تنش‌های رینولدز در شکل (۹) ارائه گردیده‌اند. با توجه به این شکل در محدوده عمق نسبی  $0/۰۵$  تا  $0/۱$  نمودارهای بی‌بعد تنش تغییر جهت می‌دهند. بدین ترتیب که در ابتدا تا محدوده فوق افزایش یافته و پس از آن روند کاهشی دارند. همچنین مقادیر تنش برشی در نزدیکی سطح آب منفی هستند که این موضوع برش بسیار کم در این منطقه و تأثیر سطح آزاد آب را نشان می‌دهد. همان‌گونه که در آزمایش‌های سری اول هم اشاره شد، از آنجایی که هندسه تلماسه قادر نیست تا این لایه در نزدیکی سطح آزاد آب را تحت تاثیر قرار دهد، کمینه مقدار تنش در نزدیکی سطح آب اتفاق می‌افتد. نتایج مطالعات نصیری و همکاران تا حدودی با نتایج پژوهش حاضر متفاوت است. بر اساس این مطالعات در مقاطع واقع در بالادست تاج تلماسه و در تاج تلماسه یک نقطه زانویی شکل در عمق نسبی  $0/۲۵$  وجود داشت [۱۲]. در عمق‌های نسبی کوچک‌تر از  $0/۲۵$  با کاهش عمق نسبی تنش رینولدز هم کاهش یافته و بر عکس در مقادیر بزرگ‌تر از  $0/۲۵$  با کاهش عمق نسبی تنش رینولدز روند افزایشی داشت. در

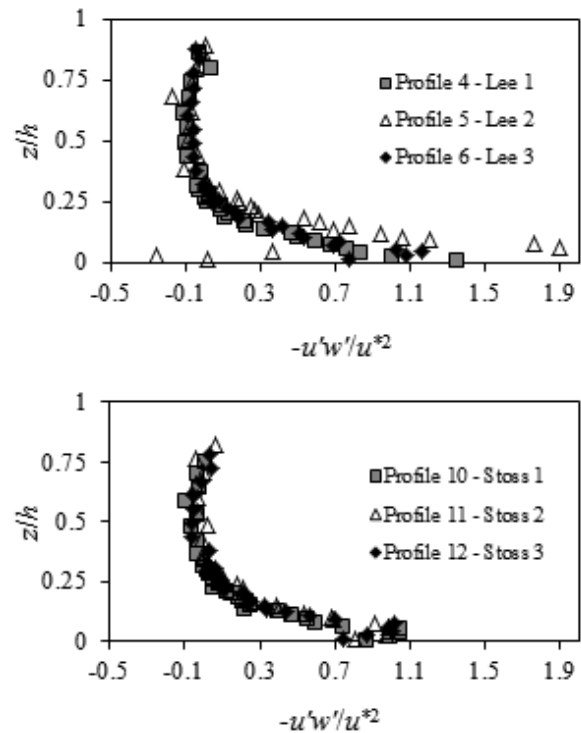


Figure 7. Non-dimensional longitudinal Reynolds stress profiles of the first group of the tests: a) over the flat crest, b) at lee of the dunes and c) at stoss of the dunes

بدین ترتیب با وجود غیرخطی بودن توزیع تنش رینولدز، بیشینه مقدار این توزیع در محور مرکزی کanal بر روی بستر رخ می‌دهد. در شکل (۷)  $u^*$  با به کار گیری روش تنش برشی رینولدز به دست آمده است. در این روش ابتدا نمودار  $\bar{u'w'}$  و یا  $\bar{w'u'}$  در مقابل  $z/h$  برای هر پروفیل ترسیم می‌شود. سپس به نقاط نمودار مورد نظر بسته به محل آن پروفیل، خط و یا منحنی برازش داده می‌شود و مقدار تنش برشی کف کanal با استفاده از رابطه (۱) در  $= 0$  به دست می‌آید.

$$(1) \tau_0 = -\rho \bar{u'w'}$$

سپس با مساوی قرار دادن رابطه (۱) و رابطه تنش برشی جداره با سرعت برشی به صورت رابطه (۲)، مقدار سرعت برشی محاسبه می‌گردد. در این روابط،  $\rho$  چگالی آب،  $u^*$  سرعت برشی و  $w'$  به ترتیب نوسان‌های سرعت در راستای جریان و عمود بر آن هستند.

$$(2) \tau_0 = -\rho u^* w'$$

شکل (۸) پروفیل‌های بدون بعد سرعت را در راستای جریان برای آزمایش‌های سری دوم نشان می‌دهد. همان‌گونه که ملاحظه می‌شود، در این شکل نیز (مانند نتایج آزمایش‌های

برشی در لایه نزدیک سطح آب حداقل است. زیرا هندسه تلماسه روی این قسمت تأثیرگذار نیست. بر اساس مطالعات بنت و بست مقادیر تنش منفی تقابل جریان به سمت داخل و به سمت خارج را تعیین می‌نمایند [۱۵]، در حالی که تنش‌های مثبت وجود پدیده‌های حرکات پرتابی<sup>۱۷</sup> و جاروبی<sup>۱۸</sup> را بیان می‌کنند.

شکل (۹) پروفیل‌های بدون بعد تنش رینولدز ( $-\bar{u'w'}/\bar{u}^2$ ) در راستای جریان: الف - بر روی تاج مسطح، ب- بعد از تاج مسطح و ج- قبل از تاج مسطح در آزمایش‌های سری دوم

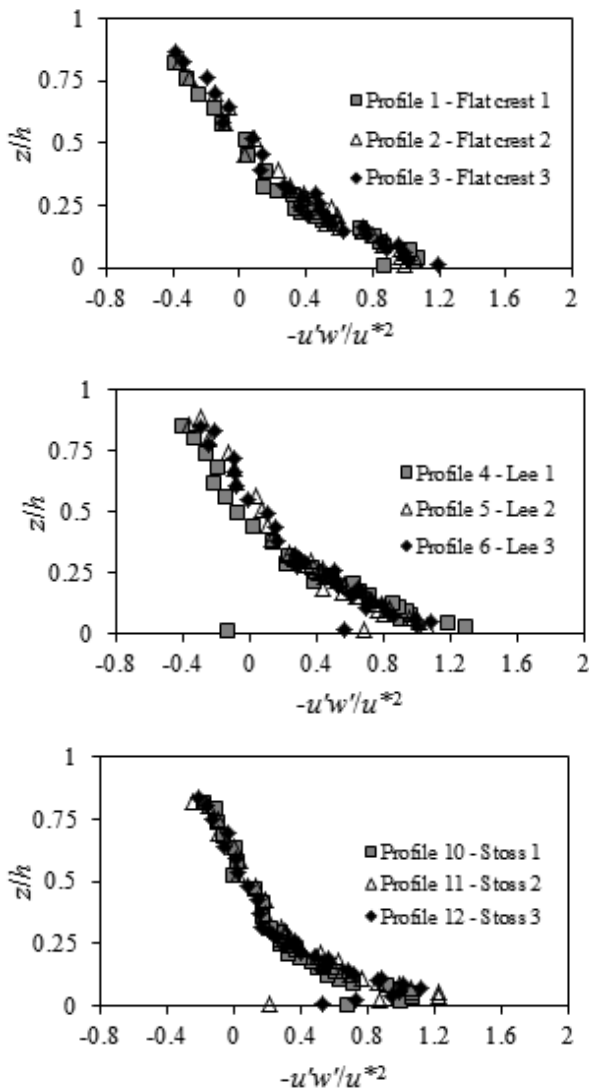


Figure 9. Non-dimensional longitudinal Reynolds stress profiles of the second group of the tests: a) over the flat crest, b) at lee of the dunes and c) at stoss of the dunes

مقطع واقع در پایین‌دست تاج تلماسه، با افزایش در عمق نسبی آب، تنش رینولدز تا  $h/L = 0.3$  افزایش یافته و پس از آن روند کاهشی دارد.

شکل (۸) پروفیل‌های بدون بعد سرعت در راستای جریان: الف- بر روی تاج مسطح، ب- بعد از تاج مسطح، ج- قبل از تاج مسطح در آزمایش‌های سری دوم

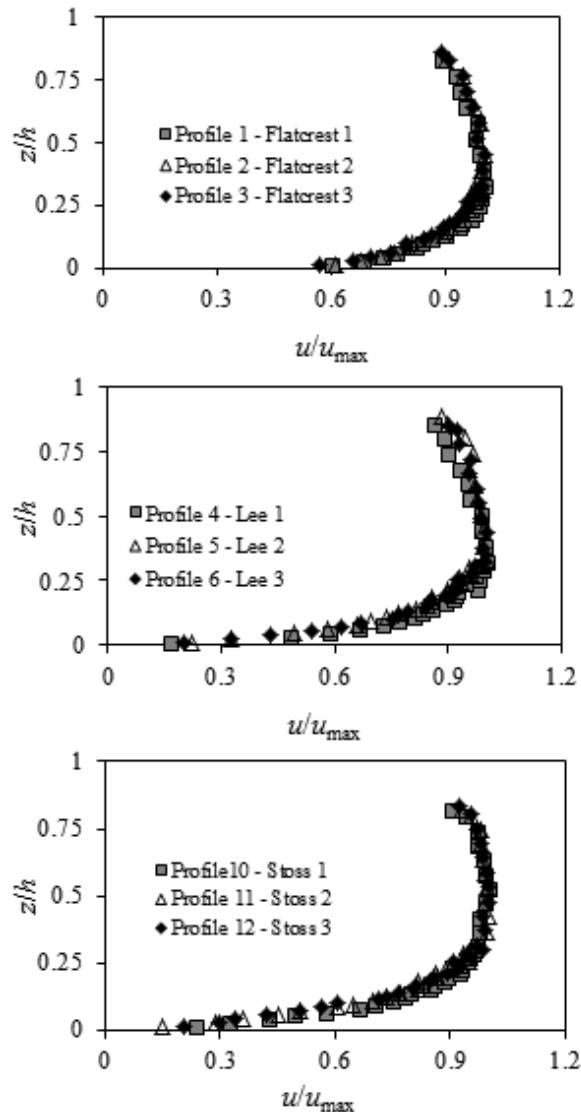


Figure 8. Non-dimensional longitudinal velocity profiles of the second group of the tests: a) over the flat crest, b) at lee of the dunes and c) at stoss of the dunes

مطابق یافته‌های بنت و بست [۱۵] و نصیری [۱۱] بیشینه مقدار تنش رینولدز به ترتیب در  $L = 0.5$  و  $L = 0.3$  طول موج تلماسه است) به دست می‌آید. در پژوهش حاضر این مقدار در  $L = 0.4$  مشاهده گردید. نتایج نشان می‌دهد که تنش

سری با دو سری قبل این بود که به منظور بررسی تأثیر فاصله از پوشش گیاهی بر روی جریان، اندازه‌گیری‌ها در فاصله ۴ سانتی‌متری از دیوار (پوشش گیاهی) و در حد فاصل تاج مسطح تلماسه‌های پنجم و ششم، پس از ثابت ماندن شرایط جریان، توسط دستگاه ADV انجام گرفت. در شکل (۱۰) پروفیل‌های بی بعد سرعت جریان ارائه شده‌اند. با ملاحظه این شکل می‌توان دریافت که شکل پروفیل‌های سرعت در این سری از آزمایش‌ها کمی با دو سری قبل متفاوت است به طوری که هر گاه برداشت داده در نزدیکی دیوار صورت پذیرد، پروفیل‌های سرعت شکل تقریبی  $S$  به خود می‌گیرند. با حرکت جریان از تاج مسطح به سمت شیب وجه پایین دست، پروفیل‌های  $S$  شکل به سرعت حالت کشیده‌تری پیدا می‌کنند و به تدریج با حرکت به سمت تاج مسطح دوم دوباره شکل اولیه خود را باز می‌یابند. مانند آزمایش‌های پیشین در این سری از آزمایش‌ها نیز کمترین مقدار سرعت در نزدیکی بستر کanal رخ می‌دهد. تغییرات سرعت نسبت به عمق نسبی را در این سری می‌توان به چهار ناحیه به شرح زیر تقسیم نمود.

ناحیه اول؛ از بستر کanal تا  $z/h = 0/2$  مقادیر سرعت بی بعد به شدت افزایش می‌یابد. ناحیه دوم؛ از  $z/h = 0/2$  تا  $z/h = 0/4$  کاهش جزیی در مقادیر سرعت بی بعد وجود دارد. ناحیه سوم؛ از  $z/h = 0/4$  تا  $z/h = 0/7$  روند افزایشی در مقادیر بی بعد سرعت مشاهده می‌شود. ناحیه چهارم؛ از  $z/h = 0/7$  تا سطح آب مقادیر سرعت بی بعد مجدداً کاهش می‌یابد. به طور کلی محل وقوع بیشینه مقادیر سرعت در این سری از آزمایش‌ها در محدوده عمق نسبی  $0/4$  تا  $0/7$  اتفاق می‌افتد. در حالی که مطالعات افضلی مهر و دی بر بستر شنی و پوشش گیاهی در جدار نشان می‌دهد که برای دامنه نسبت ظرافت بین  $3$  تا  $4/5$  موقعیت سرعت بیشینه در فواصل مختلف از دیوار ثابت نبوده و از  $z/h = 0/2$  در فاصله ۲ سانتی‌متری از دیوار تا  $z/h = 0/45$  در مرکز کanal تغییر می‌کند [۲۲].

در شکل (۱۱) نمودار سرعت‌های بی بعد در سه مقطع روی تاج و قبل و بعد از آن نشان داده شده است. با توجه به این شکل می‌توان دریافت که مقادیر سرعت از بستر کanal تا عمق

شکل (۱۰) پروفیل‌های بدون بعد سرعت در راستای جریان: الف - بر روی تاج مسطح، ب- بعد از تاج مسطح و ج- قبل از تاج مسطح در آزمایش‌های سری سوم

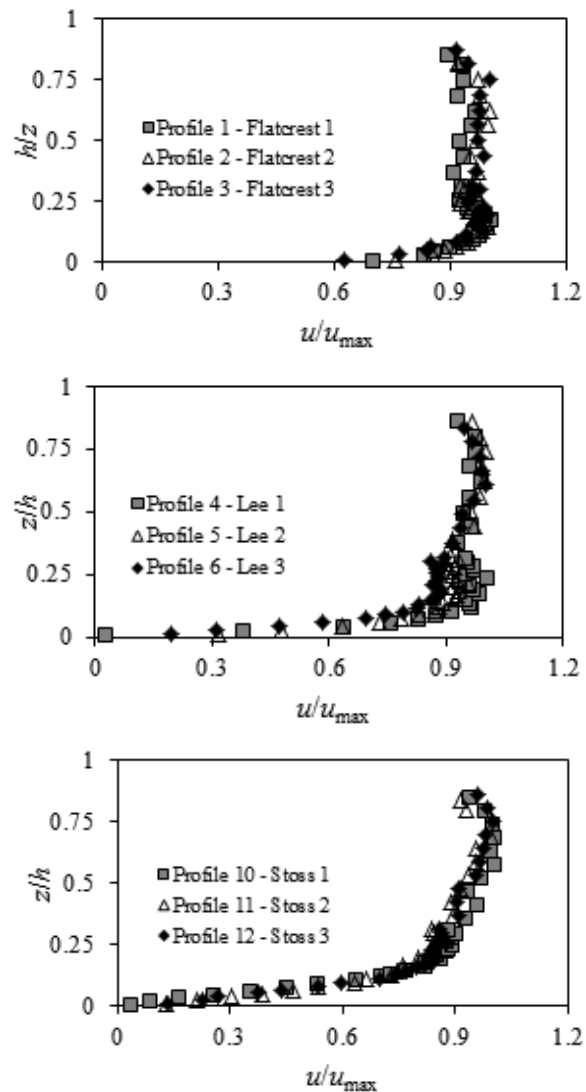


Figure 10. Non-dimensional longitudinal velocity profiles of the third group of the tests: a) over the flat crest, b) at lee of the dunes and c) at stoss of the dunes

با توجه به این نظریه می‌توان گفت که وجود مناطق گستردۀ منفی در نزدیکی سطح آب از این تقابل جریان ناشی می‌شود و تنش‌های مثبت در نزدیکی بستر نیز حرکات پرتایی و جاروبی را موجب می‌گردند. روند تقریباً معکوس با تنش‌های رینولدز  $R_{xy}$  دارند. بدین معنی که مقادیر منفی در نزدیکی سطح آب و مقادیر مثبت در نزدیکی بستر گستردۀ شده‌اند. در سری سوم از آزمایش‌ها نیز ارتفاع، طول موج، زاویه ایستایی و عمق جریان به ترتیب برابر  $0/04$  متر،  $0/96$  متر،  $28$  درجه و  $28$  سانتی‌متر ثابت در نظر گرفته شدند. تنها تفاوت این

وجود پوشش گیاهی از خود رفتارهای متفاوتی را نشان می‌دهند. در حالت عدم وجود پوشش گیاهی از عمق نسبی ۰/۱ تا مقادیر کوچکتر از ۰/۰۳ با کاهش عمق نسبی، تنفس رینولذز افزایش می‌یابد. ولی در عمق‌های نسبی بزرگ‌تر از ۰/۳ رابطه عکس برقرار است. در حالت وجود پوشش گیاهی در دیوار در عمق‌های نسبی بزرگ‌تر از ۰/۱ در تمامی پروفیل‌ها با کاهش عمق نسبی، تنفس رینولذز افزایش می‌یابد.

شکل (۱۱) پروفیل‌های بدون بعد سرعت در راستای جريان در فواصل مختلف از دیوار در حالت وجود و عدم وجود پوشش گیاهی: الف- قبل از تاج مسطح، ب- بر روی تاج مسطح و ج- بعد از تاج مسطح

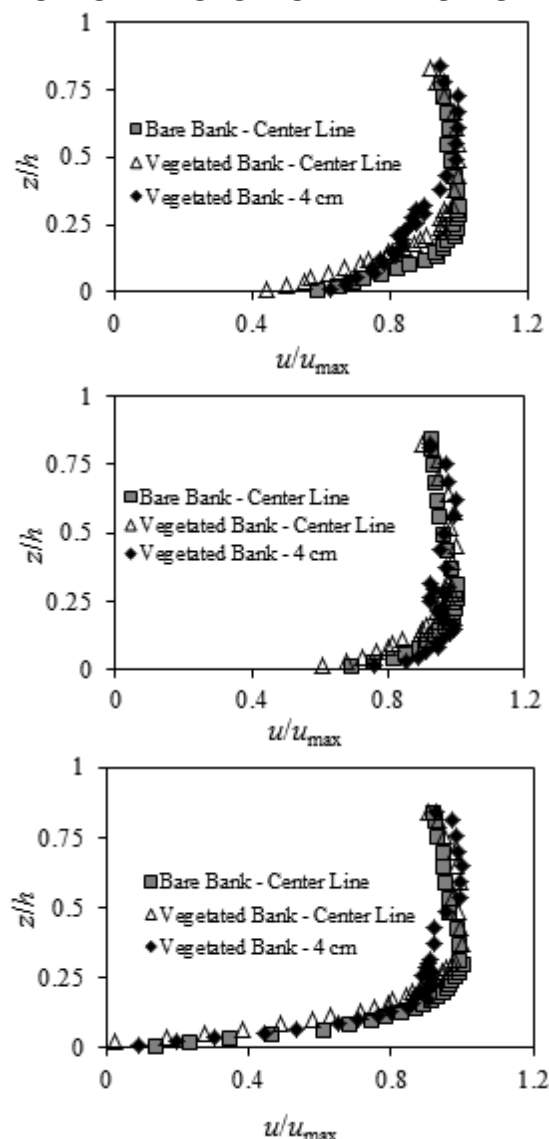


Figure 11. Non-dimensional longitudinal velocity profiles at different distances from the channel side-walls for bare and vegetated banks: a) at stoss of the dunes, b) over the flat crest and c) at lee of the dunes

نسبی حدود ۰/۲، در نزدیکی پوشش گیاهی بیشتر از مقادیر سرعت در محور مرکزی کanal است. اما در اعماق نسبی بیشتر از ۰/۲ مقادیر سرعت در نزدیکی پوشش گیاهی نسبت به محور مرکزی کوچک‌تر و یا تقریباً برابر است. از مقایسه نمودارهای بی بعد سرعت در دو حالت وجود و عدم وجود پوشش گیاهی در دیوار می‌توان دریافت که از بستر تا عمق نسبی ۰/۳ سرعت‌ها به یکدیگر نزدیک بوده ولی در اعماق نسبی بیشتر از ۰/۳ افروزن پوشش گیاهی به دیوار و مقاومت پوشش گیاهی باعث کاهش سرعت در جهت جريان در نزدیکی دیواره‌ها می‌شود. سرعت‌های بزرگ جريان به سمت دور شدن از دیواره‌ها حرکت می‌کنند و بدین ترتیب در شرایط وجود پوشش گیاهی گرادیان سرعت شدیدتری به وجود می‌آید که نشان دهنده مقادیر بزرگ تنفس برخی است. به منظور بررسی پروفیل‌های بدون بعد تنفس‌های رینولذز ( $u'w'/u^2$ ) در فواصل مختلف از پوشش گیاهی، این پروفیل‌ها برای مقاطع واقع در تاج مسطح و قبل و بعد از آن در شکل (۱۲) ارائه شده‌اند. برای عمق نسبی بزرگ‌تر از ۰/۱۵ تنفس رینولذز در محور مرکزی بیشتر از تنفس در نزدیکی دیوار پوشیده شده از گیاه است. بدین ترتیب می‌توان چنین اظهار داشت که فاصله از پوشش گیاهی و تنفس رینولذز دارای رابطه مستقیمی هستند. بدین معنی که هر چه فاصله از پوشش گیاهی کمتر شود، تنفس رینولذز نیز کمتر خواهد بود. برای پروفیل‌های نزدیک به دیواره در حالت وجود پوشش معمولاً اعماق نسبی کمتر تنفس رینولذز بیشتری دارند. همچنین در پروفیل‌های نزدیک دیوار برای عمق‌های نسبی کوچک‌تر از ۰/۲ با کاهش عمق نسبی تنفس رینولذز افزایش یافته و پس از آن کاهش می‌یابد. به طور کلی در پروفیل‌های واقع در مرکز کanal برای عمق‌های نسبی کمتر از ۰/۶ تنفس رینولذز در حالت وجود پوشش گیاهی در دیوار نسبت به حالت عدم وجود آن بیشتر است. همچنین در هر دو حالت وجود و عدم وجود پوشش گیاهی در دیوار یک نقطه زانویی شکل در عمق نسبی حدود ۰/۱ وجود دارد. در عمق‌های کمتر از ۰/۱ با کاهش عمق نسبی در هر دو حالت، تنفس رینولذز کاهش یافته ولی برای عمق‌های بزرگ‌تر از ۰/۱ دو حالت وجود و عدم

کوچکی داشته و به صفر نزدیک هستند. طوری که بیشترین مقدار آنها برابر با  $Pa/2$  است. شایان ذکر است که روند تغییرات توزیع  $\tau_{xy}$  در پژوهش حاضر با مطالعات نصیری [11] همخوانی خوبی دارد. تنش‌های برشی  $\tau_{yz}$  روند مشابهی با تنش‌های رینولدز  $\tau_{xz}$  و روند تقریباً معکوس با تنش‌های رینولدز  $\tau_{xy}$  دارند. بدین معنی که مقادیر منفی در نزدیکی سطح آب و مقادیر مثبت در نزدیکی بستر گستردۀ شده‌اند.

#### ۴- جمع‌بندی و نتیجه‌گیری

با افزودن پوشش گیاهی به دیواره‌های کanal، سرعت در جهت جريان در محور مرکزی کanal افزایش یافت و اين موضوع در ناحيۀ خارجي جريان بيشتر قابل توجه بود. در دو حالت وجود و عدم وجود پوشش گیاهی در دیوار از بستر تا عمق نسبی  $0/3$  سرعت‌ها به يكديگر نزدیک بوده ولی در اعماق نسبی بيشتر از  $0/3$  افزودن پوشش گیاهی افزایش سرعت جريان را به دنبال داشت. از آنجايی که مقادير بزرگ سرعت جريان به سمت دور شدن از دیواره‌ها حرکت می‌کنند، در شرایط وجود پوشش گیاهی گراديان سرعت شدیدتری به وجود می‌آيد که نشان دهنده مقدار تنش‌های بزرگ است. بيشترین مقدار سرعت در پروفيل‌های واقع در محور مرکزی در محدوده عمق نسبی  $0/32$  تا  $0/58$  رخ می‌دهد. در حالت حضور پوشش گیاهی ناحيۀ با كمينه مقدار سرعت به سمت پایین‌دست حرکت کرده و در محل فرورفتگی تلماسه متتمرکز شده است. در محدوده عمق نسبی  $0/1$  تا  $0/05$  نمودارهای بی بعد تنش تغيير جهت می‌دهند. بدین ترتیب که در ابتدا تا محدوده فوق افزایش یافته و پس از آن روند کاهشی دارند. بيشترین مقدار سرعت در پروفيل‌های واقع در محور مرکزی در محدوده عمق نسبی  $0/58$  تا  $0/32$  رخ می‌دهد. بر روی تلماسه‌های با تاج تيز بيشينه مقدار سرعت در زير سطح آب و  $z/h=0/52$  مشاهده شد که با نتایج اين پژوهش تطابق نسبی دارد. محل رخداد ناحيۀ جدایي جريان در تلماسه‌های با تاج تيز و ناحيۀ كمينه مقدار سرعت در نوع تاج مسطح، هر دو در محل فرورفتگی تلماسه واقع شده‌اند، هر چند که در تلماسه‌های با تاج مسطح

شکل (۱۲) پروفيل‌های بدون بعد تنش رينولدزی در فواصل مختلف از دیوار در حالت وجود و عدم وجود پوشش گیاهی الف- قبل از تاج مسطح، ب- بر روی تاج مسطح و ج- بعد از تاج مسطح

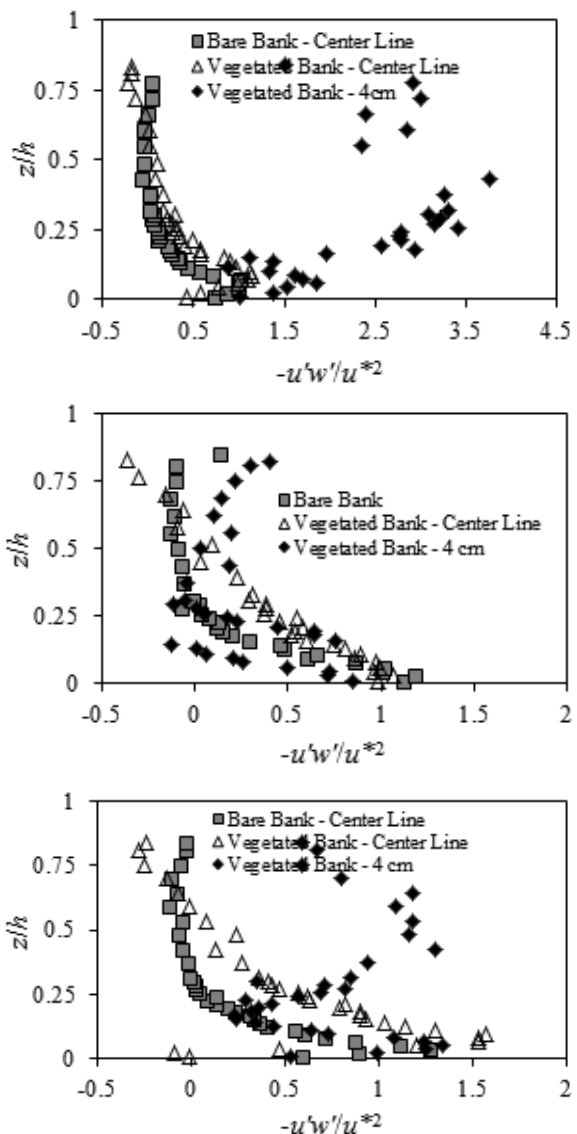


Figure 12. Non-dimensional longitudinal Reynolds stress profiles at different distances from the channel side-walls for bare and vegetated banks a) at stoss of the dunes b) over the flat crest and c) at lee of the dunes

بررسی نتایج در ارتباط با مؤلفه‌های دیگر تنش‌های رینولدزی نشان داد که  $-\bar{u}'\bar{V}'/\bar{u}^2$  و  $-\bar{V}'\bar{W}'/\bar{u}^2$ - نقش مهمی در برقراری تعادل در معادله اندازه حرکت ایفا نمی‌کنند. مقادیر  $\tau_{xy}$  در همه جا به جز لایه نزدیک به سطح آب منفی هستند. با نزدیک شدن به بستر مقادیر منفی تنش کاهش می‌یابند و کوچکترین مقدار تنش در بستر برابر با  $Pa/7$  است. البته تنش‌های مثبت در نزدیکی سطح آب هم مقادیر بسیار

- [7] Venditti, J. G. 2007. Turbulent flow and drag over fixed two- and three-dimensional dunes. *J. Geophys. Res.* 112, F04008.
- [8] Stoesser, T. M., Braun, C., Garcia-Villalba, M. and W. M. Rodi. 2008. Turbulence structures in flow over two-dimensional dunes. *J. Hydraul. Eng. ASCE.* 134: 42-55.
- [9] Mazumder, B. S., Pal, D., Ghoshal, K. and S. P. Ojha. 2009. Turbulence statistics of flow over isolated scalene and isoscalene triangular-shaped bedforms. *J. Hydraul. Res. Vol. 47, No. 5, PP. 626-637.*
- [10] Afzalimehr, H., Dey, S. and P. Rasoulianfar. 2007. Influence of decelerating flow on incipient motion of gravel-bed streams, *Sadhana*, 32:545-559.
- [11] نصیری دهسرخی ا. ۱۳۸۸. برهم‌کنش پوشش گیاهی، شکل‌های بستر و ساختار جریان بر توزیع‌های سرعت و شدت‌های توربولانس. پایان‌نامه کارشناسی ارشد آبیاری و زهکشی. دانشگاه صنعتی اصفهان.
- [12] Nasiri Dehsorkhi, N., Afzalimehr, H. and V. P. Singh. 2011. Effects of bedforms and vegetated banks on velocity distributions and turbulent flow structure. *J. Hydrol. Eng. ASCE.* 16. 495.
- [13] Nasiri Dehsorkhi, N., Afzalimehr, H. and J. Sui. 2010. Effects of vegetation channel banks and gravel size on flow structure. *Int. J. Sed. Res. Vol. 25, No. 2, pp. 110-118.*
- [14] Van Mierlo, M. C. L. M. and J. C. C. de Ruiter. 1988. Turbulence measurements above artificial dunes. Technical Report, TOW A55 Q789, PP. 142. Delft Hydraulics Laboratory, Delft, Netherlands.
- [15] Bennett, S. J. and J. L. Best. 1995. Mean flow and turbulence structure over fixed, two-dimensional dunes: Implication for sediment transport and bed form stability. *Sedimentology*, Vol. 42, PP. 491-513.
- [16] Fedele, J.J. and M.H. Garcia. 2001. Alluvial roughness in streams with dunes: A boundary-layer Approach. *River, Coastal and Estuarine Morphodynamics*. 37-59.
- [17] Raudkivi, A. J. 2006. Transition from ripples to dunes. *J. Hydraul. Eng. ASCE*, Vol. 132: 1316-1320.
- [18] Nepf, H. M. and E. W. Koch. 1999. Vertical secondary flows in submerged plant-like arrays. *Am. Soc. Limnol. Oceanorg.* 44: 1072-1080.
- [19] Nepf, H. M. and E. R. Vivoni. 2000. Flow structure in depth-limited vegetated flow. *J. Geophys. Res.* 105: 28547-28557.
- [20] Wilson, C. A. M. E., Stoesser, T., Bares, P. D. and A. Batemann Pinzen. 2003. Open channel flow though different forms of submerged flexible vegetation. *J. Hydraul. Eng. ASCE*, 129: 847-853.
- [21] White, B. L. and H. N. Nepf. 2007. Shear instability and coherent structures in shallow flow adjacent to a porous layer. *J. Fluid Mech.* 593: 1-32.
- [22] Afzalimehr, H. and S. Dey. 2009. Influence of bank vegetation and gravel bed on velocity and Reynolds stress distributions. *Int. J. Sediment Res.* 24: 2: 236-246.
- [23] User guide of VECTRINO Velocimeter, October 2004. Nortek AS, Norway.
- [24] Carling, P. A. 1996. Morphology, sedimentology and palaeohydraulic significance of large gravel dunes, Altai Mountains, Siberia. *Sedimentology*. 43: 4: 647-664.

حتی با وجود پوشش گیاهی در دیواره کanal، جدایی قابل توجهی به چشم نمی‌خورد.

روند تغییرات تنش برشی در تلماسه‌های با تاج تیز تدریجی بوده در حالی که در نوع مسطح این روند بسیار سریع صورت می‌گیرد. نیمرخ‌های تنش برشی در نوع اول نسبت به نوع دوم بسیار کشیده‌تر هستند. در تلماسه‌های با تاج مسطح نسبت به نوع تیز، بیشینه مقدار تنش‌های برشی در فاصله نزدیکتری به بستر اتفاق می‌افتد. محل رخداد مقادیر بیشینه تنش در تلماسه‌های با تاج مسطح در محله ناحیه کمینه مقدار سرعت و پایین‌دست آن بوده که با تحقیقات گذشته تطابق نسبی دارد. به طور کلی در پروفیل‌های واقع در مرکز کanal برای عمق‌های نسبی کمتر از  $0/6$  تنش رینولدز در حالت وجود پوشش گیاهی در دیوار نسبت به حالت عدم وجود آن بیشتر است. در عمق‌های کمتر از  $0/1$  با کاهش عمق نسبی در هر دو حالت تنش رینولدز کاهش می‌یابد. در حالت عدم وجود پوشش گیاهی از عمق نسبی  $0/1$  تا مقادیر کوچک‌تر از  $0/3$  با کاهش عمق نسبی، تنش رینولدز افزایش می‌یابد ولی در عمق‌های نسبی بزرگ‌تر از  $0/3$  رابطه عکس برقرار است. در حالت وجود پوشش گیاهی در دیوار در عمق‌های نسبی بزرگ‌تر از  $0/1$  در تمامی پروفیل‌ها با کاهش عمق نسبی، تنش رینولدز افزایش می‌یابد.

## References

## 5 - مراجع

- [1] Best, J. L. 1993. On the interaction between turbulent flow structure, sediment transport and bedform development: some considerations from recent experimental research. In: N. J. Clifford, J. R. French, and J. Hardisty (Eds.), *Turbulence: Perspectives on Flow and Sediment Transport*, John Wiley & Sons Ltd., New York, 360pp.
- [2] Afzalimehr, H., Singh, V. P. and E. Fazel Najafabadi. 2010. Determination of form friction factor. *J. Hydraul. Eng., ASCE.* 15: 3: 237-243.
- [3] McLean, S. R., Nelson, J. M. and S. R. Wolfe. 1994. Turbulence structure over two-dimensional bed forms: Implication for sediment transport. *J. Geophys. Res.* 99: 12, 729-12, 747.
- [4] Gomez, B. 1991. Bedload transport. *Earth Sci. Rev.* 31: 89-32.
- [5] Bartholdy, J., Bartholoma, A., Ernstsen, V. B. and B.W. Flemming. 2005. Flow and grain size control of depth-independent simple subaqueous dunes. *J. Geophys. Res.* 110: F4: F04S16.
- [6] Venditti, J.G., Church, M. and S.J. Bennett. 2006. On interfacial instability as a cause of transverse subcritical bed forms. *Water Resour. Res.* 42: 7: W07423.

## Effects of straight-crested gravel bed-forms and vegetated banks on turbulent flow characteristics

S. Davarpanah-Jazi<sup>1</sup>, A.R. Kabiri-Samani<sup>2</sup>, H. Afzalimehr<sup>3</sup>

1- MSc. Student, Department of Agricultural Engineering, Isfahan University of Technology

2- Associate Prof., Department of Civil Engineering, Isfahan University of Technology

3- Prof., Department of Agricultural Engineering, Isfahan University of Technology

[akabiri@cc.iut.ac.ir](mailto:akabiri@cc.iut.ac.ir)

### Abstract

Rivers have been always the main source of water for human kind and the basic element of population development. The interaction between river flow structure and the bed-forms is common problem in river engineering that should be considered to better recognition of behavior of the river flows. Moreover, vegetation in natural rivers increases roughness of the main channel and flood plains which affects the geometry of channels, flow structure, bed resistance and consequently the pattern of sediment transport. In general, bed-forms and vegetation significantly influence flow characteristics, thereby result in non-uniformity in flow; variation of the turbulence intensity, increasing the near-wall shear stresses, and modified velocity distributions. To date, limited works on the impacts of the bed-forms and the vegetated banks on flow characteristics has been reported. Considering the role of bed-forms on sediment transport, turbulence production and flow resistance, investigations on details of flow-bed-forms interaction, vegetated banks and flow structure seem to be essential.

In this study, the influence of straight crested gravel bed-forms and vegetation of the banks of channels on flow turbulent characteristics are investigated based on model experimentation. For this purpose, seven fixed artificial 2-D straight crested bed-forms were built inside a rectangular flume 8 m long, 0.4 m wide and 0.6 m deep. The graded gravel particles used to create the bed-forms had an average diameter of  $d_{50} = 10$  mm. Johnson grasses with a diameter of 2.8 mm were used to simulate vegetation cover attached to the channel side-walls. Since, the fully developed flow was just observed after the fifth dune, experimental measurements were performed over the fifth and sixth dunes. Overall, three runs were performed over the dunes with a wave length, height, angle of repose and flow depth of 0.96 m, 0.04 m, 28 degrees and 0.28 m, respectively. In the first case 17 velocity profiles and in the second and the third cases 21 velocity profiles were measured. All the tests were performed with a constant discharge of  $0.024 \text{ m}^3/\text{s}$ . The instantaneous three-dimensional velocity components were measured using a down-looking Acoustic Doppler Velocimeter ADV. Velocities were recorded point by point with a sampling rate of 200 Hz and the sampling volume of 5 mm. The sampling duration was at least 120 seconds. Overall, about 45400000 velocity data were collected, filtered by WinADV software. Results indicated no negative velocities for both bare and vegetated banks. For no vegetation case (bare bank), the least value of velocity was zero at a small region on the lee side of the dune. Whereas, for the case of vegetating the side-walls, the zero value of velocity was located at the dune's stoss. Negative vertical velocity value in both cases of with and without vegetation along a dune confirmed that separation is not dominant for the case of straight crested dunes compared to the corresponding sharp-crested bed-forms. The Reynolds stresses increase for the case of vegetating the side-walls compared to the case of without vegetation cover. This is in part due to the increase of flow resistance, while the side-walls are vegetated.

**Keywords:** Gravel bed-form, Vegetated wall, Reynolds stress, Turbulent flow.